

УДК 535.81

ФЛУКТУАЦИИ ИНТЕНСИВНОСТИ  
ПРИ РАССЕЯНИИ СВЕТА ВБЛИЗИ ФОКУСА  
ОПТИЧЕСКОЙ СИСТЕМЫ

Г. М. Свищев

Рассмотрен случай, когда свет, рассеянный статистически независимыми частицами, свободно диффундирующими в бесконечно большом объеме, поступает на фотоприемник только из малой области пространства вблизи фокуса оптической системы. Получены выражения для функции корреляции и спектра флуктуаций регистрируемого потока излучения при условии, что радиус исследуемого микрообъема  $r > \lambda$ . Показано, что при этом условии уменьшение  $r$  ниже некоторого значения (зависящего от концентрации частиц) приводит к появлению в спектре флуктуаций дополнительной, низкочастотной нелорентцевской компоненты, обусловленной флуктуациями числа частиц в исследуемом микрообъеме. Отношение сигнала к шуму для основной, лорентцевской компоненты спектра флуктуаций фототока изменяется обратно пропорционально  $r$ .

Исследование флуктуаций потока излучения, квазиупруго (релеевски) рассеянного системой микроскопических или субмикроскопических частиц (вирусов, макромолекул и т. п.), позволяет определять целый ряд динамических характеристик этих частиц: коэффициенты поступательной и вращательной диффузии, скорости химических реакций и конформационных переходов в равновесных системах, времена релаксации гибких частиц и другие (см., например, обзоры [1-3]). Применяются два метода исследования упомянутых флуктуаций: метод гомодинного детектирования, при котором на фотоприемник поступает только рассеянное излучение, и метод гетеродинного детектирования, при котором рассеянное излучение интерферирует на поверхности фотоприемника с излучением, падающим на исследуемую систему частиц. Теория этих методов достаточно полно разработана только для тех случаев, когда и падающее, и собираемое излучение можно аппроксимировать плоскими волнами, а светорассеивающий объем и число частиц в нем можно считать бесконечно большими.

Представляет интерес распространение этих методов на изучение микрообъемов вещества, например, отдельных участков живой клетки [4]. Такое локальное исследование объекта возможно, когда освещдающий и собираемый световые пучки пересекаются внутри исследуемого микрообъема под достаточно большим углом, и в области пересечения диаметры этих пучков соответствуют размерам выделяемого микрообъема. При таких локальных исследованиях вычисления спектра (или корреляционной функции) флуктуаций, а также отношения сигнала к шуму, должны проводиться, следовательно, с учетом размеров светорассеивающего объема, конечного числа частиц в нем и существенного отличия от нуля апертурных углов падающего и собираемого пучков.

Для метода гетеродинного детектирования решение этих проблем (кроме вычисления отношения сигнала к шуму и учета конечного числа частиц) получено в работе [5], посвященной определению локальных скоростей в потоке. При вычислении отношения сигнала к шуму размеры светорассеивающего объема учитывают всегда, однако при этом рассматриваются только те случаи, когда волны, рассеянные объектом в разных направле-

ниях, попадают на разные участки фотоприемника и не интерферируют друг с другом [6], а при освещении объекта совокупностью плоских волн, падающих под разными углами, эти волны считаются некогерентными [7]. Что же касается проблемы учета конечного числа частиц в светорассеивающем объеме, то она исследована только в приближении бесконечно больших размеров этого объема [8].

В данной работе перечисленные выше проблемы локального исследования объектов изучаются для случая гомодинного детектирования: основные статистические характеристики флуктуаций потока рассеянного излучения (корреляционная функция, спектр и отношение сигнала к шуму) вычислены в предположении, что падающее излучение когерентно, апертурные углы световых пучков малы, а объект в целом можно аппроксимировать бесконечно большой системой одинаковых оптических изотропных

свободно диффундирующих и не взаимодействующих друг с другом (статистически независимых) частиц.

Пусть в точке  $O_1$  внутри объема  $V$ , содержащего  $N$  таких частиц, пересекаются под углом  $\Theta_0$  оптические оси двух безабберационных объективов  $L_1$  и  $L_2$  (радиусы и площади их отверстий обозначим соответственно через  $a_1$  и  $a_2$ ,  $s_1$  и  $s_2$ ). Объектив  $L_1$  фокусирует в точку  $O_1$  падающую на него плоскую линейно поляризованную монохроматическую волну, а объектив  $L_2$  проецирует точку  $O_1$  в центр  $O_2$

К расчету флуктуаций потока излучения, рассеянного вблизи фокуса оптической системы.

отверстия в полевой диафрагме  $B$  фотоприемника (см. рисунок). Обозначим через  $f_1$  радиус волнового фронта  $W_1$ , заполняющего отверстие объектива  $L_1$ , а через  $f_2$  и  $f_3$  — радиусы сферических поверхностей  $W_2$  и  $W_3$  (с центрами в точках  $O_1$  и  $O_2$  соответственно), заполняющих отверстие объектива  $L_2$ . Предполагается, что  $f_1 \gg a_1$  и  $f_2, f_3 \gg a_2$ .

Пусть отверстие в диафрагме  $B$  меньше центрального пятна в дифракционном изображении точки  $O_1$  и  $|\Theta_0 - \pi/2| \leq \pi/4$ . Тогда поток рассеянного излучения, попадающий на фотоприемник через отверстие в диафрагме  $B$  от одной,  $j$ -й частицы (обозначим его через  $F_j$ ) заметно отличен от нуля только тогда, когда эта частица находится вблизи точки  $O_1$ . Аппроксимируем зависимость  $F_j$  от радиуса-вектора  $r_j$  частицы относительно точки  $O_1$  функцией [5]

$$F_j(r_j) = F_0 \exp\left(-\frac{r_j^2}{\rho^2}\right), \quad (1)$$

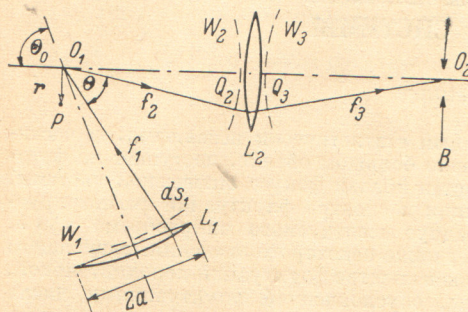
где  $\rho$  полагаем равным радиусу центрального дифракционного пятна объектива  $L_1$  и минимальному интервалу, разрешаемому объективом  $L_2$  (считаем, что радиусы  $a_1$  и  $a_2$  подобраны так, что последние две величины равны)

$$\rho \approx \frac{\lambda f_1}{2a_1} \approx \frac{\lambda f_2}{2a_2}. \quad (2)$$

Найдем сначала корреляционную функцию полного потока  $F(t)$  излучения, достигающего фотоприемника. Для этого опишем поле падающего излучения вблизи его фокальной точки  $O_1$  с помощью интеграла Дебая (см., например, [9]) в виде суперпозиции плоских волн

$$u(\mathbf{r}) = -\frac{iA}{\lambda f_1^2} \exp(-i\omega t) \int_{W_1} \exp(i\mathbf{k}_1 \cdot \mathbf{r}) ds_1, \quad (3)$$

где  $A/f_1$  — амплитуда поля на  $W_1$ , а  $\mathbf{k}_1$  — вектор, по абсолютной величине равный  $k=2\pi/\lambda$  и направленный из центра элемента  $ds_1$  в точку  $O_1$ . Этот



результат, полученный для скалярной волны, справедлив и для каждой декартовой компоненты векторной волны.

Каждая элементарная плоская волна, входящая в интеграл (3), взаимодействуя с  $j$ -й частицей, дает рассеянное излучение, поле которого в точке  $Q_2$  поверхности  $W_2$

$$du_j = -\frac{AS(\Theta, \psi)}{2\pi f_1^2 f_2} \exp \{i[\mathbf{k}f_2 + (\mathbf{k}_1 - \mathbf{k}_2)\mathbf{r}_j - \omega t]\} ds_1, \quad (4)$$

где  $\mathbf{k}_2$  — вектор, равный по абсолютной величине  $k$  и направленный из  $O_1$  в  $Q_2$ , а  $S(\Theta, \psi)$  — амплитудная функция рассеяния [10], зависящая от угла  $\Theta$  между  $\mathbf{k}_1$  и  $\mathbf{k}_2$  и угла  $\psi$  между плоскостью поляризации падающего излучения и плоскостью рассеяния. Суммарное поле излучения, рассеянного  $j$ -й частицей,

$$u_j(Q_2) = \int_{W_1} du_j, \quad (5)$$

Пусть  $Q_3$  — точка пересечения  $W_3$  лучом, проходящим через  $O_1$  и произвольную точку  $Q_2$  поверхности  $W_2$ . Тогда

$$u_j(Q_3) \approx u_j(Q_2) \exp(ik\delta), \quad (6)$$

где разность хода  $\delta$  не зависит от выбора точки  $Q_2$ . Применяя к  $W_3$  принцип Гюйгенса—Френеля (в формулировке Киргоффа) и пренебрегая зависимостью  $S(\Theta, \psi)$  от  $\mathbf{k}_1$  и  $\mathbf{k}_2$ , находим поле в точке  $O_2$

$$U_j(t) = G \int_{W_2} \int_{W_1} \exp[i(\mathbf{k}_1 - \mathbf{k}_2)\mathbf{r}_j(t)] ds_1 ds_2, \quad (7)$$

где

$$G = \frac{iAS(\Theta, \psi)}{2\pi\lambda f_1^2 f_2 f_3} \exp[ik(f_2 + f_3 + \delta) - i\omega t]. \quad (8)$$

Поскольку отверстие в диафрагме  $B$  меньше центрального дифракционного пятна объектива  $L_2$ , то поле от  $j$ -й частицы во всех точках этого отверстия приблизительно одинаково, и, следовательно, одинаково и суммарное поле рассеянного излучения

$$U(t) = \sum_{j=1}^N U_j(t). \quad (9)$$

Тогда поток излучения, попадающего на фотоприемник,

$$F(t) = \sigma U(t) U^*(t), \quad (10)$$

а его временная функция корреляции

$$R(V, \tau) = \langle F(t) F(t + \tau) \rangle = \sum_j \sum_k \sum_l \sum_m M_{jklm}, \quad (11)$$

где  $\sigma$  — площадь отверстия в диафрагме  $B$ , угловые скобки означают усреднение по времени и

$$M_{jklm} = \sigma^2 \langle U_j(t) U_k^*(t) U_l(t + \tau) U_m^*(t + \tau) \rangle. \quad (12)$$

Так как все положения частиц внутри  $V$  равновероятны, усреднение по времени можно заменить усреднением по объему. Если хотя бы один из индексов отличен от всех остальных, то (вследствие независимости частиц)  $M_{jklm}$  пропорционально величине  $\int_V U_j(\mathbf{r}) d^3\mathbf{r}$ , которая равна нулю,

так как представляет собой амплитуду поля в точке  $O_2$  при заполнении объема  $V$  абсолютно однородной средой.

Обозначим

$$M_{jklm} = \begin{cases} M_1 & \text{при } j=k \neq l=m, \\ M_2 & \text{при } j=m \neq k=l, \\ M_3 & \text{при } j=k=l=m, \\ M_4 & \text{при } j=l \neq k=m. \end{cases} \quad (13)$$

Каждое из слагаемых  $M_1$ ,  $M_2$  и  $M_4$  встречается  $N(N-1)$  раз, а слагаемое  $M_3$  —  $N$  раз.

Из (12) и (13) находим

$$M_1 = \sigma^2 \langle U_j(t) U_j^*(t) \rangle^2 = \langle F_j \rangle^2, \quad (14)$$

где  $F_j$  дается соотношением (1), а поток излучения  $F_j(0)$  (при  $r=0$ ) находим из (6)

$$F_j(0) = F_0 = \sigma s_1^2 s_2^2 |G|^2. \quad (15)$$

Отсюда

$$R_1(\tau) = \lim_{V \rightarrow \infty} [M_1 N(N-1)] = \pi^3 n^2 \rho^6 F_0^2, \quad (16)$$

где  $n$  — среднее число частиц в единице объема.

Аналогично

$$M_3 = \langle F_j(t) F_j(t+\tau) \rangle = \frac{1}{V} \int_V \int_V \exp\left(-\frac{r_1^2 + r_2^2}{\rho^2}\right) P(r_2 - r_1, \tau) d^3 r_1 d^3 r_2, \quad (17)$$

где

$$P(r_2 - r_1, \tau) d^3 r_2 = (4\pi D |\tau|)^{-1.5} \exp\left[-\frac{(r_1 - r_2)^2}{4D|\tau|}\right] d^3 r_2 \quad (18)$$

это вероятность того, что частица за время  $\tau$  переместится из точки  $r_1$  в элемент объема  $d^3 r_2$  с центром в  $r_2$ , а  $D$  — коэффициент поступательной диффузии [11].

Отсюда

$$R_3(\tau) = \lim_{V \rightarrow \infty} (NM_3) = 2\sqrt{2} n \rho^3 F_0^2 \left(1 + \frac{2D|\tau|}{\rho^2}\right)^{-1.5}. \quad (19)$$

При резком ограничении исследуемого объема сферой радиуса  $\rho$  (когда  $F_j = F_0$  при  $r_j \leq \rho$  и  $F_j = 0$  при  $r_j > \rho$ ) произведение  $NM_3$  было бы пропорционально функции корреляции для числа частиц внутри исследуемого объема. Таким образом, компонента  $M_3$  обусловлена флуктуациями числа частиц внутри исследуемого микрообъема.

Далее,

$$M_2 = \sigma^2 |\langle U_j(t) U_j^*(t+\tau) \rangle|^2. \quad (20)$$

Введем временно в функцию  $S(\Theta, \psi)$  дополнительный множитель, зависящий от положения частицы

$$S(r) = \exp\left(-\frac{r^2}{R^2}\right), \quad (21)$$

где  $R \gg \rho$ . Тогда

$$\lim_{V \rightarrow \infty} (N \sqrt{M_2}) = \sigma |G|^2 \int_{W_2} \int_{W_1} \int_{W_2} \int_{W_1} \lim_{V \rightarrow \infty} (NI) ds_1 ds_2 ds'_1 ds'_2, \quad (22)$$

где

$$I = \langle \exp\left[i(\mathbf{k}_1 - \mathbf{k}_2) \cdot \mathbf{r}(t) - i(\mathbf{k}'_1 - \mathbf{k}'_2) \cdot \mathbf{r}(t+\tau) - \frac{r^2(t) + r^2(t+\tau)}{R^2}\right] \rangle \quad (23)$$

представляет собой интеграл, аналогичный (17). Выполнив интегрирование, находим

$$\lim_{V \rightarrow \infty} (NI) = \frac{\pi^{1.5} n R^3}{\left(1 + \frac{D|\tau|}{R^2}\right)^{1.5}} \exp\left[-\frac{R^2}{4} (\mathbf{K} - \mathbf{K}')^2 - \frac{D|\tau|(\mathbf{K} + \mathbf{K}')^2}{4\left(1 + \frac{D|\tau|}{R^2}\right)}\right], \quad (24)$$

где  $\mathbf{K} = \mathbf{k}_1 - \mathbf{k}_2$  и  $\mathbf{K}' = \mathbf{k}'_1 - \mathbf{k}'_2$  — векторы рассеяния для элементарных световых пучков. При рассматриваемых нами условиях (малые апертуры объективов и достаточно большой угол  $\Theta_0$  между их осями) можно считать  $(\mathbf{K} + \mathbf{K}')^2 \approx 4K_0^2$ , где  $\mathbf{K}_0$  — вектор рассеяния для осевых пучков. Тогда

$$\beta = \lim_{V \rightarrow \infty} [M_2 N (N - 1)] = \frac{\pi^3 (n\sigma |G|^2 R^3 J)^2}{\left(1 + \frac{D|\tau|}{R^2}\right)^3} \exp \left[ -\frac{2DK_0^2 |\tau|}{1 + \frac{D|\tau|}{R^2}} \right], \quad (25)$$

где

$$J = \int_{W_2} \int_{W_1} \int_{W_2} \int_{W_1} \exp \left[ -\frac{R^2}{4} (\mathbf{K} - \mathbf{K}')^2 \right] ds_1 ds_2 ds'_1 ds'_2. \quad (26)$$

Подставив в (25) приближенное значение  $J$ , получающееся для объективов с отверстиями квадратной формы,

$$J = \frac{16s_1^2 s_2^2}{3\pi^{1.5} \sin \Theta_0} \left(\frac{\rho}{R}\right)^3, \quad (27)$$

окончательно находим

$$R_2(\tau) = \lim_{R \rightarrow \infty} \beta \approx \left( \frac{16n\rho^3 \sigma s_1^2 s_2^2 |G|^2}{3 \sin \Theta_0} \right)^2 \exp(-2DK_0^2 |\tau|). \quad (28)$$

Аналогичные вычисления показывают, что

$$R_4 = \lim_{V \rightarrow \infty} [M_4 N (N - 1)] \approx 0. \quad (29)$$

Итак, функция корреляции для  $F(t)$  при  $V = \infty$

$$R(\tau) = \lim_{V \rightarrow \infty} R(V, \tau) = R_1(\tau) + R_2(\tau) + R_3(\tau) = \\ = \langle F(t) \rangle^2 \left[ 1 + \frac{1}{\pi} \left( \frac{16}{3\pi \sin \Theta_0} \right)^2 \exp(-2DK_0^2 |\tau|) + \frac{8\sqrt{2}}{3\pi^2} \left( 1 + \frac{2D|\tau|}{\rho^2} \right)^{-1.5} \right], \quad (30)$$

где

$$\langle F(t) \rangle = \frac{3}{4} \sqrt{\pi} \nu F_0, \quad (31)$$

а  $\nu$  — среднее число частиц в оптически выделенном объеме, который мы условно полагаем ограниченным сферой с радиусом  $\rho$ .

Первое слагаемое в (30) соответствует постоянной составляющей регистраируемого потока излучения, второе определяется скоростью изменения пространственной Фурье-компоненты флуктуаций диэлектрической постоянной с волновым вектором  $\mathbf{K}_0$  [12], а третье обусловлено флуктуациями числа частиц в исследуемом объеме.

При  $\rho \rightarrow \infty$  последнее слагаемое перестает зависеть от  $\tau$ , что совпадает с результатами, полученными в [8].

Зная функцию корреляции  $R(\tau)$  потока излучения, падающего на фотокатод приемника, легко найти и функцию корреляции фототока  $i(t)$  [13]

$$R_i(\tau) = \langle i(t) i(t + \tau) \rangle = \frac{\langle i(t) \rangle}{\langle F(t) \rangle} R(\tau) + e \langle i(t) \rangle \delta(\tau), \quad (32)$$

где

$$\langle i(t) \rangle = \frac{e\zeta}{\hbar\omega} \langle F(t) \rangle, \quad (33)$$

$e$  — заряд электрона,  $\zeta$  — квантовый выход фотокатода,  $\hbar$  — постоянная Планка, а  $\delta(\tau)$  — дельта-функция Дирака.

Во многих случаях флуктуации интенсивности рассеянного излучения исследуются не по функциям корреляции (как, например, в [14, 15]), а по спектрам мощности фототока. Для случая локальных исследований

этот спектр  $S(\Omega)$  может быть получен из (32) по формуле Винера—Хинчина (см., например, [1])

$$S(\Omega) = \frac{1}{2\pi} \int_{-\infty}^{+\infty} R_i(\tau) \exp(i\Omega\tau) d\tau = \langle i(t) \rangle^2 \left\{ \delta(\Omega) + \left( \frac{16}{3\pi^2 \sin \Theta_0} \right)^2 \frac{\Gamma}{\Omega^2 + \Gamma^2} + \right. \\ \left. + \frac{8\sqrt{2}\rho^2}{3\pi^3 D} \left[ 1 - \pi\rho \sqrt{\frac{\Omega}{\pi D}} \Phi\left(\rho \sqrt{\frac{\Omega}{\pi D}}\right) \right] \right\} + \frac{e}{2\pi} \langle i(t) \rangle, \quad (34)$$

где

$$\Phi(x) = \frac{1}{2} \cos\left(\frac{\pi}{2}x^2\right) - \frac{1}{2} \sin\left(\frac{\pi}{2}x^2\right) + C(x) \sin\left(\frac{\pi}{2}x^2\right) - S(x) \cos\left(\frac{\pi}{2}x^2\right),$$

$\Gamma = 2DK_0^2$ , а  $S(x)$  и  $C(x)$  — интегралы Френеля. Таблица функции  $\Phi(x)$  приведена в [16].

Первые два слагаемых в (34) — обычные для спектров самобиений, третье обусловлено флюктуациями числа светорассеивающих частиц в исследуемом объеме, а четвертое — спектр дробового шума (остальными шумами мы пренебрегли). Интегральная интенсивность третьего слагаемого  $S_3(\Omega)$  не зависит от размеров области, а его полуширина (значение  $\Omega$ , соответствующее половине полной высоты этой составляющей спектра)

$$(\Delta\Omega)_3 \approx 1.15 \frac{D}{\rho^2}. \quad (35)$$

Эта ширина приблизительно в  $K_0^2 \rho^2$  раз меньше, чем ширина второй составляющей,  $S_2(\Omega)$ . Отношение вкладов третьей и второй составляющих спектра в точке  $\Omega=0$

$$\frac{S_3(0)}{S_2(0)} = \frac{9\sqrt{2}K_0^2 \sin^2 \Theta_0}{64n\rho}, \quad (36)$$

поэтому низкочастотная составляющая  $S_3(\Omega)$  может быть выделена на фоне  $S_2(\Omega)$  только в тех случаях, когда  $\rho n$  порядка  $K_0^2$  или меньше.

Вблизи точки  $\Omega=0$  отношение  $w_1$  мощности второй, лорентцевской составляющей спектра флюктуаций фототока  $S_2(\Omega)$  к мощности дробового шума можно найти из (34). Используя соотношения (2), (8), (15), (31) и (33) и полагая  $\sigma$  в  $\mu$  раз меньше площади центрального пятна в дифракционном изображении точки  $O_1$ , получаем

$$w_1 = \frac{2\sqrt{\pi}\lambda^4 \zeta \Phi n S^2(\Theta, \psi)}{9\hbar\omega\mu\rho\Gamma \sin^2 \Theta_0}, \quad (37)$$

где  $\Phi$  — поток излучения, падающего на объект.

В рассмотренном нами случае апертурные углы световых пучков однозначно определяют  $\rho$ . Как показано выше, при малых апертурных углах (когда  $\rho \gg \lambda$ ) изменение спектра флюктуаций фототока при уменьшении  $\rho$  или  $n$  сводится к появлению при  $\rho n$  порядка  $K_0^2$  низкочастотной, нелорентцевской компоненты, ширина которой является функцией  $\rho$ . Отношение сигнала к шуму для лорентцевской компоненты обратно пропорционально  $\rho$ , следовательно, изучение микрообъемов вещества методами гомодинного детектирования рассеянного излучения должно быть проще, чем исследование этим же методом больших объемов.

### Литература

- [1] Дж. Бенедек. Усп. физ. наук, 106, 481, 1972.
- [2] H. Z. Cummins, H. L. Swinnery. Progress in Opt. 8, 133, 1970.
- [3] J. Jeh, R. N. Keeler. Quart. Rev. Biophys., 2, 315, 1969.
- [4] T. Moeda, S. Fujime. Rev. Sci. Instr. 43, 566, 1972.
- [5] R. V. Edwards, J. C. Angus. J. Appl. Phys., 42, 873, 1971.
- [6] R. H. Brown, R. Q. Twiss. Proc. Roy. Soc., A243, 291, 1958.

- [7] Г. М. Свищев. Опт. и спектр., 33, 362, 1972.
- [8] D. M. Schaefer, B. J. Bergne. Phys. Rev. Lett., 28, 475, 1972.
- [9] М. Бори, Э. Вольф. Основы оптики. Изд. «Наука», М., 1970.
- [10] Г. ван де Хюлст. Рассеяние света малыми частицами. ИЛ, М., 1961.
- [11] С. Чандрасекар. Стохастические проблемы в физике и астрономии. ИЛ, М., 1947.
- [12] M. J. French, J. C. Angus, A. G. Wallon. Science, 163, 345, 1969.
- [13] N. E. Clark, J. H. Lunacek, G. B. Benedek. Am. J. Phys., 38, 575, 1970.
- [14] R. Foord, E. Jakeman, C. J. Oliver, E. R. Price, R. J. Blagrove, E. Wood, A. R. Peacocke. Nature, 227, 242, 1970.
- [15] H. Z. Cummins. Intern. School of Phys. «Enrico Fermi», Varenna 1967, ed. R. Glauber, N. Y. 1968.
- [16] J. Rossler. Theory and application of ..., N. Y., 1948.

Поступило в Редакцию 4 октября 1972 г.

---